



6636584

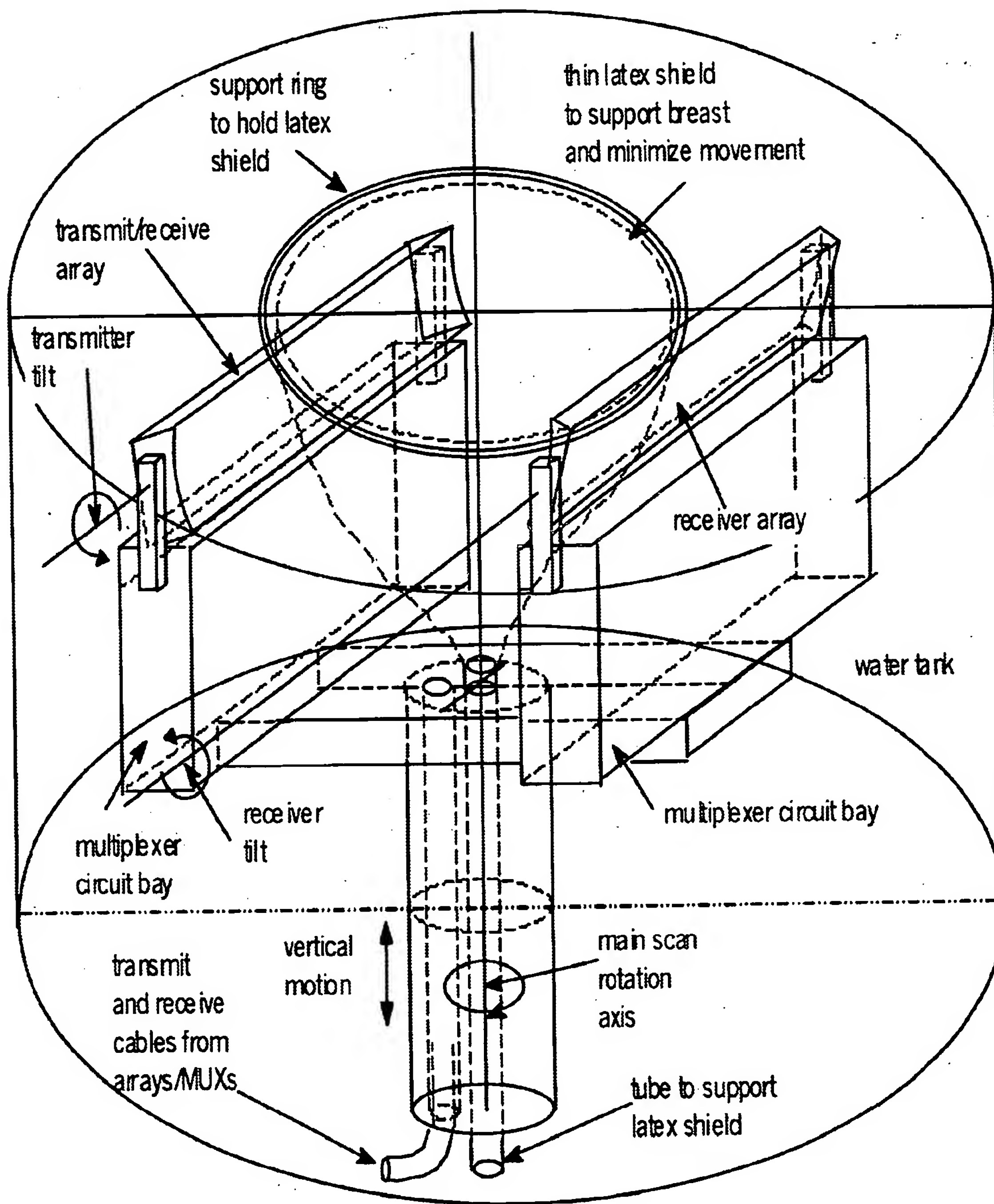


Fig. 1



Fig. 2

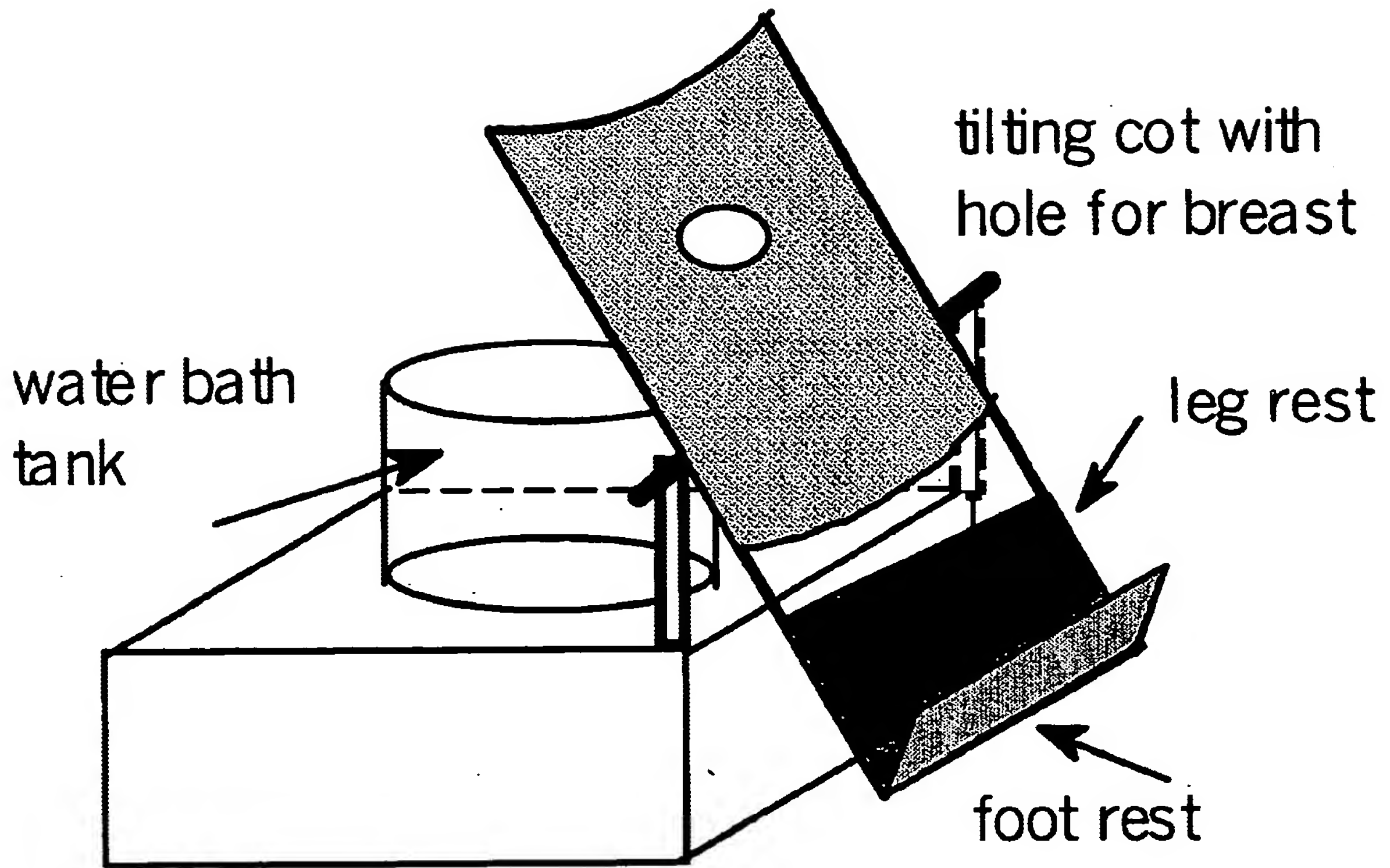
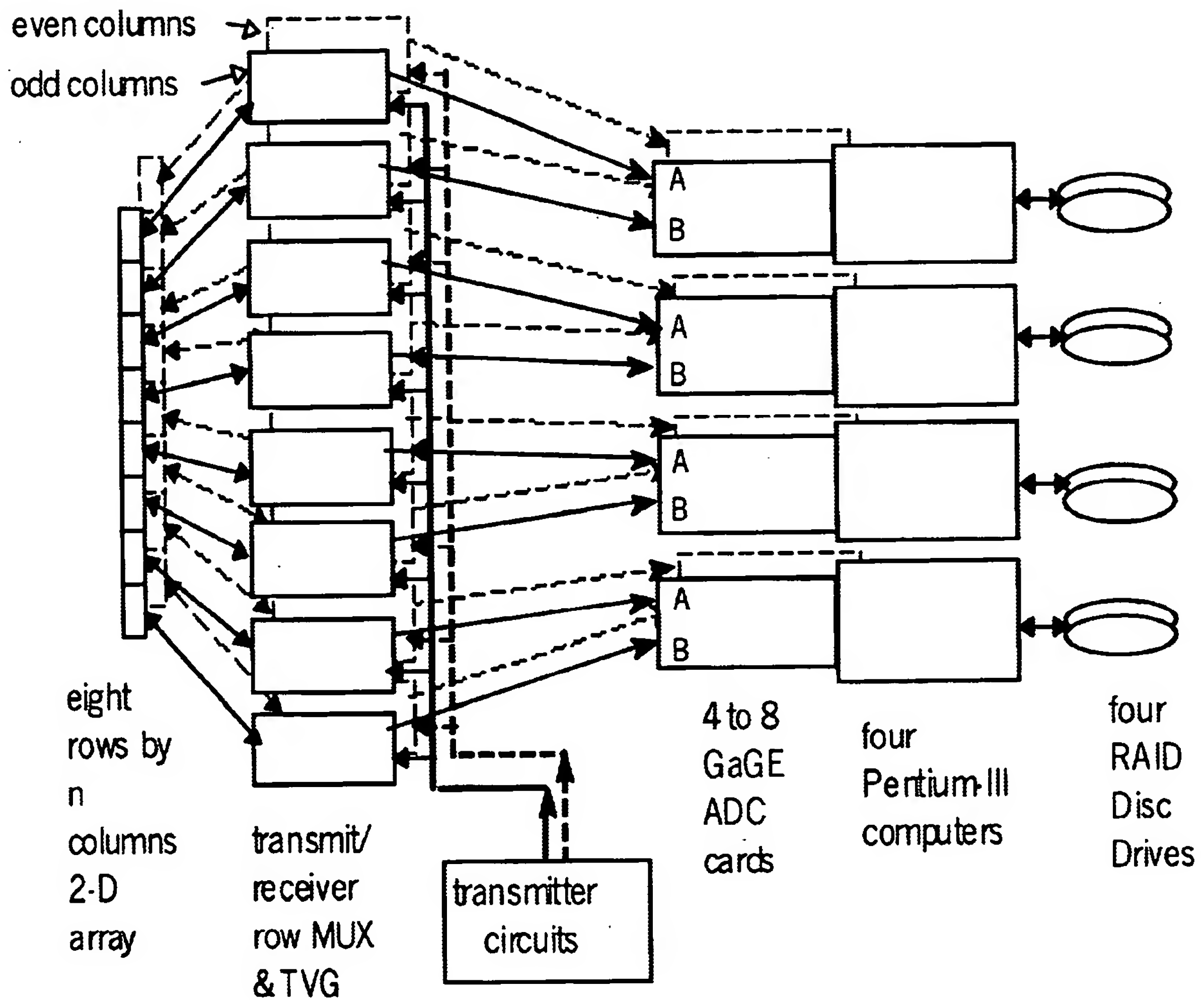




Fig. 3.a



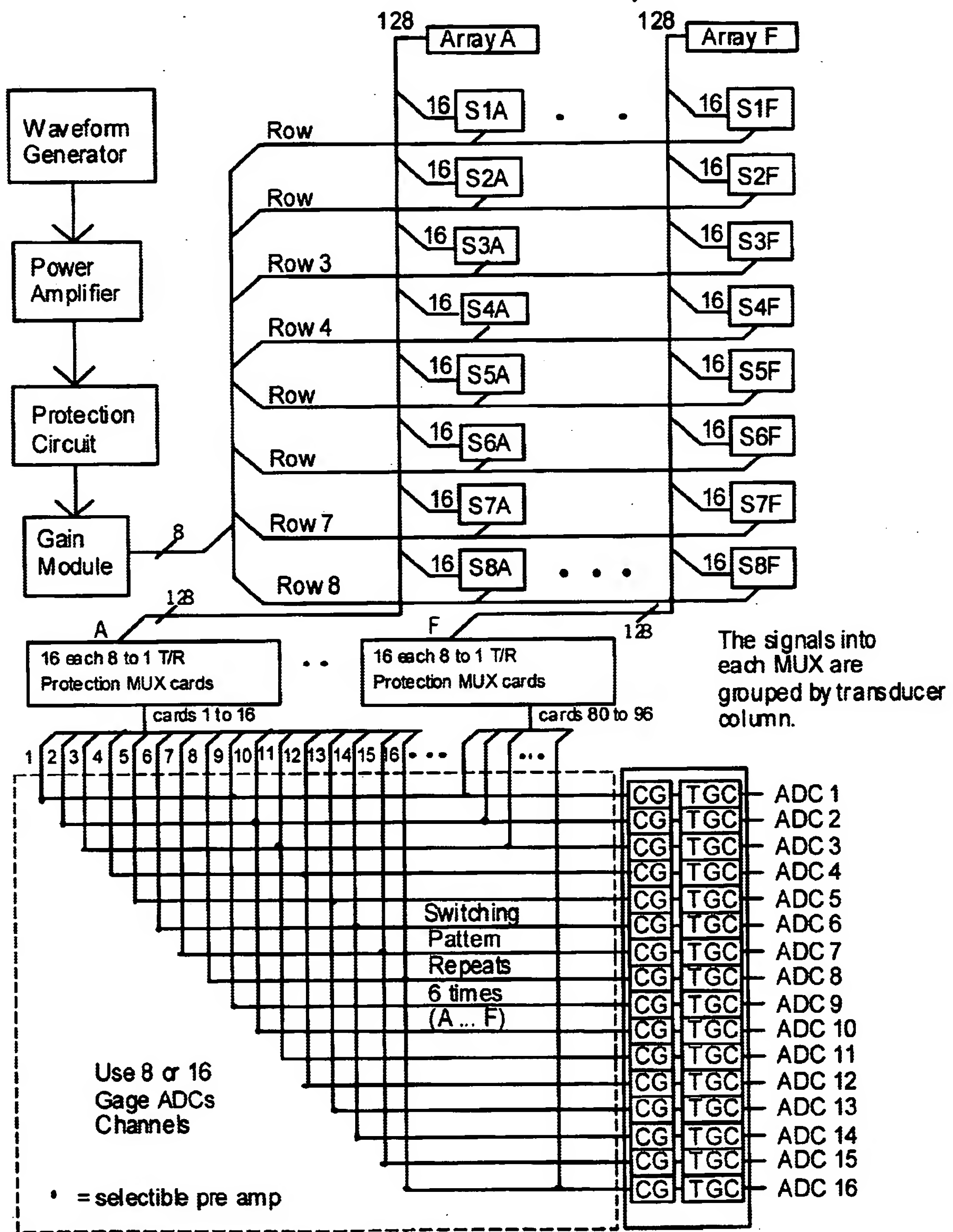


Fig. 3.b

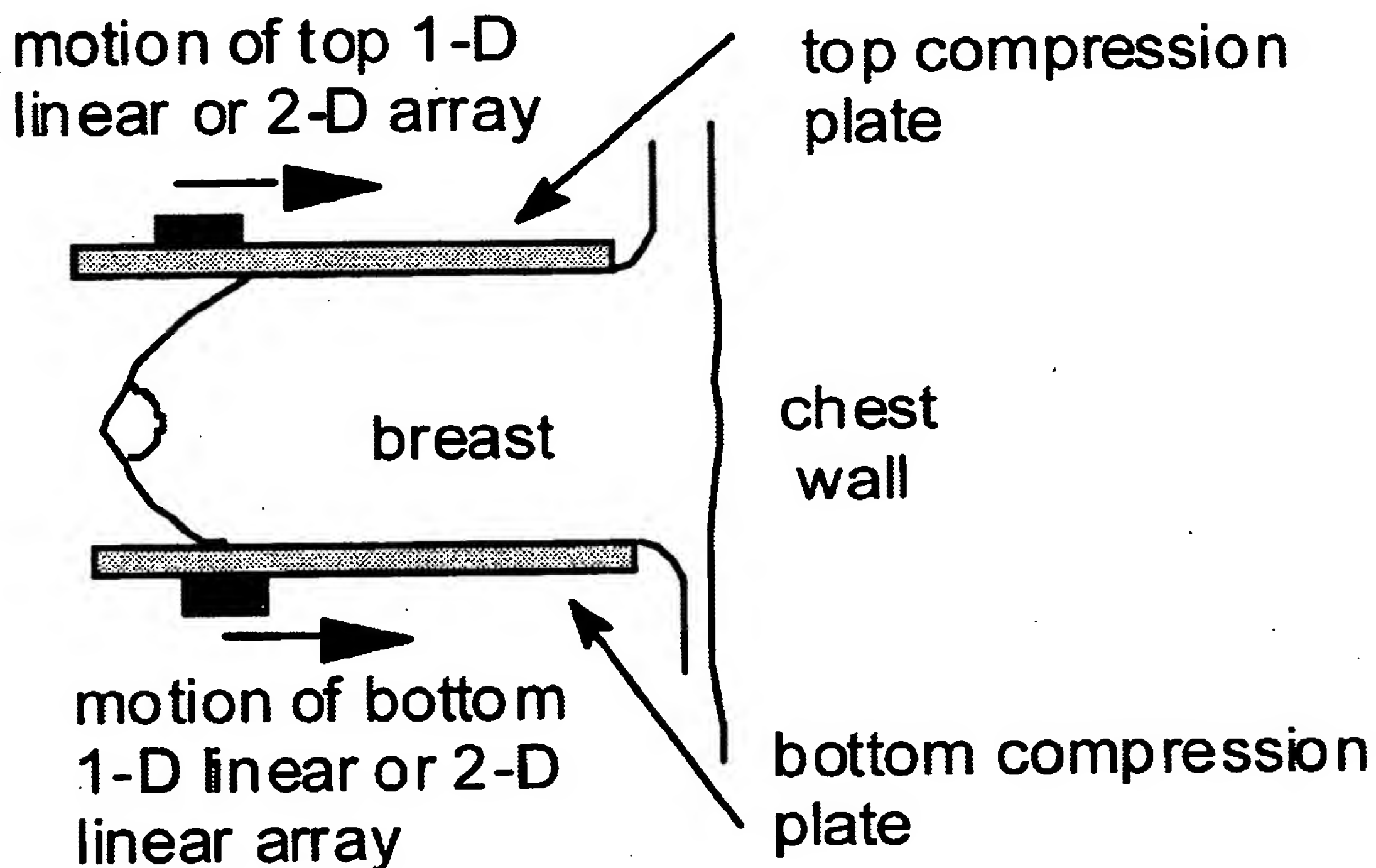


Fig. 4.a

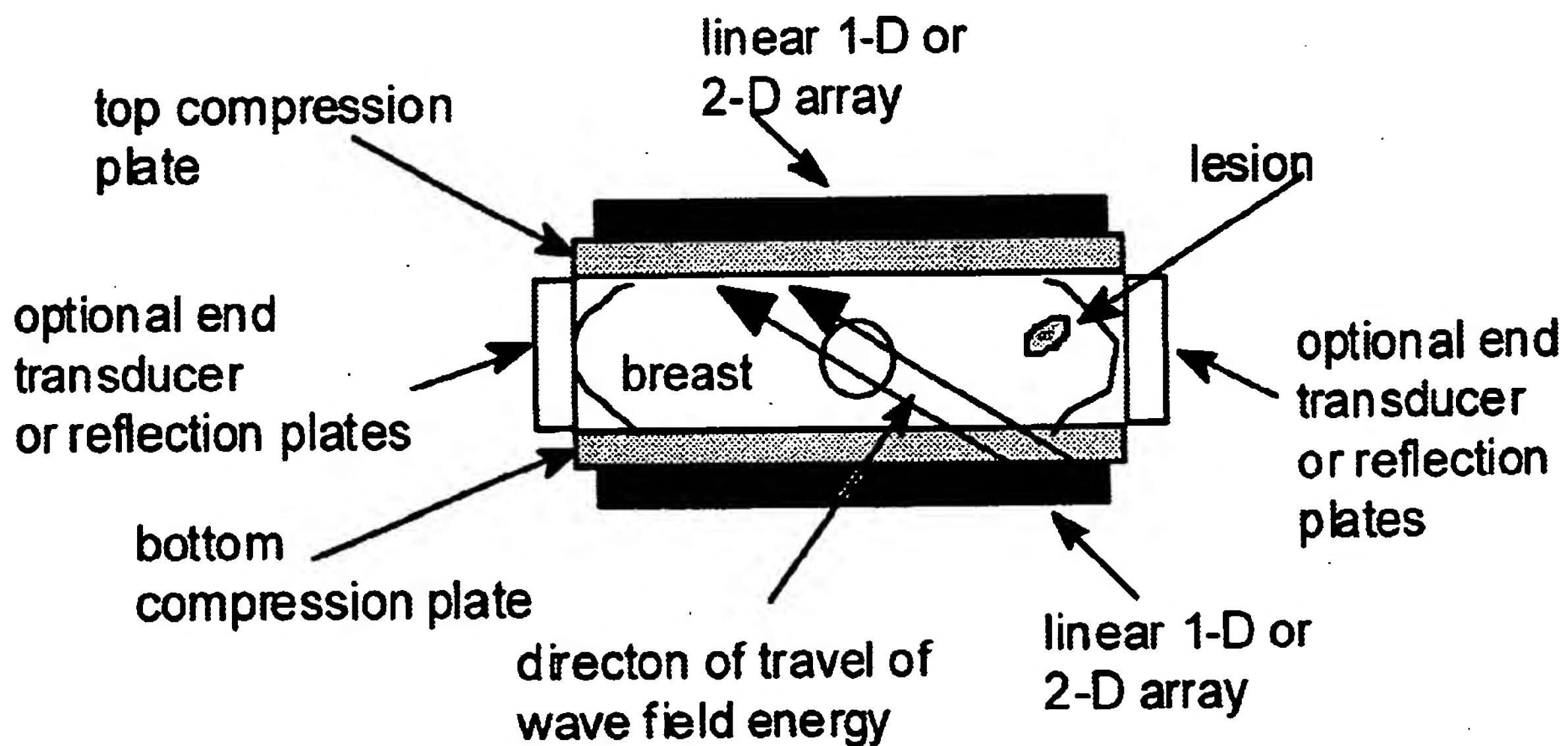


Fig. 4.b

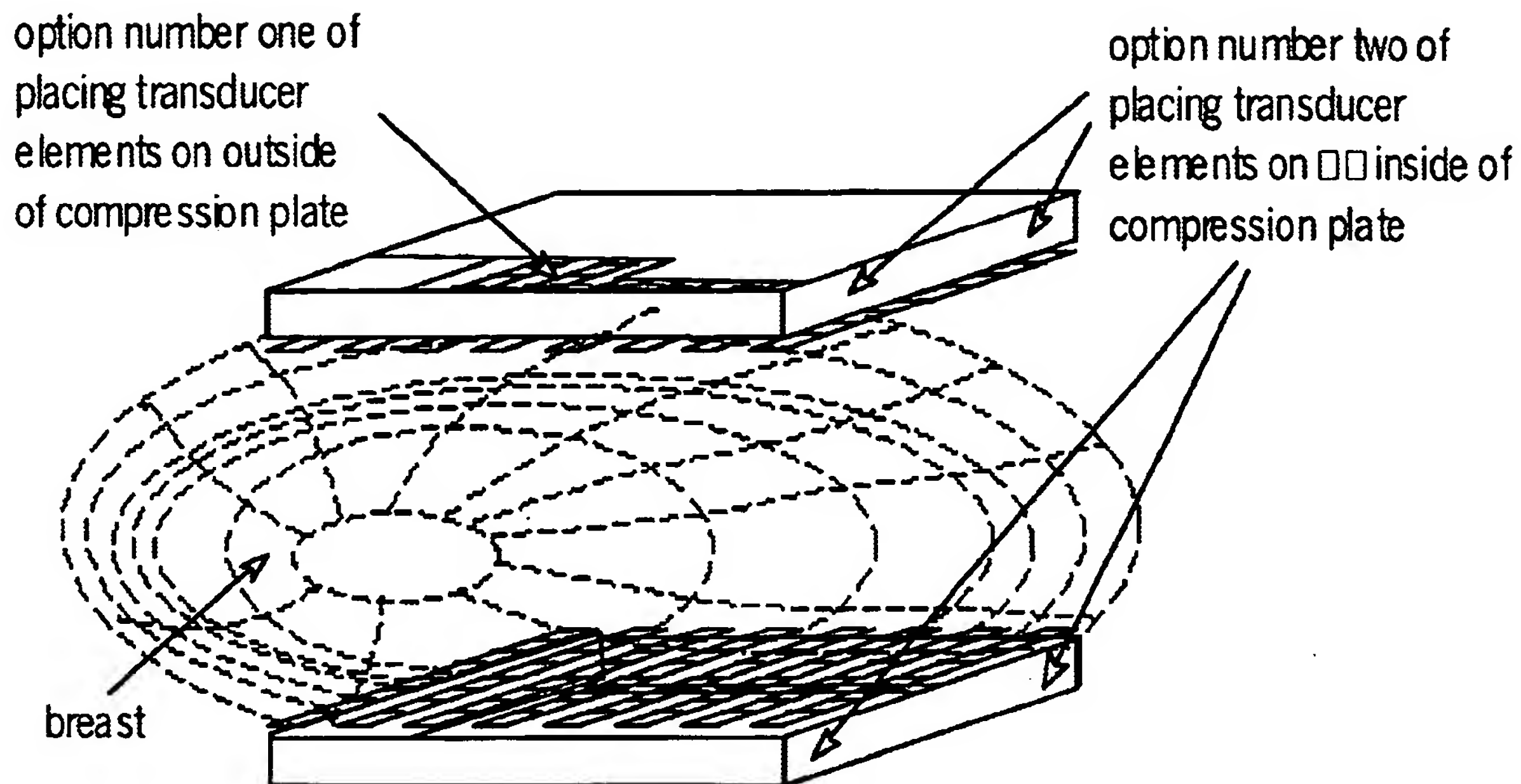


Fig. 4.c

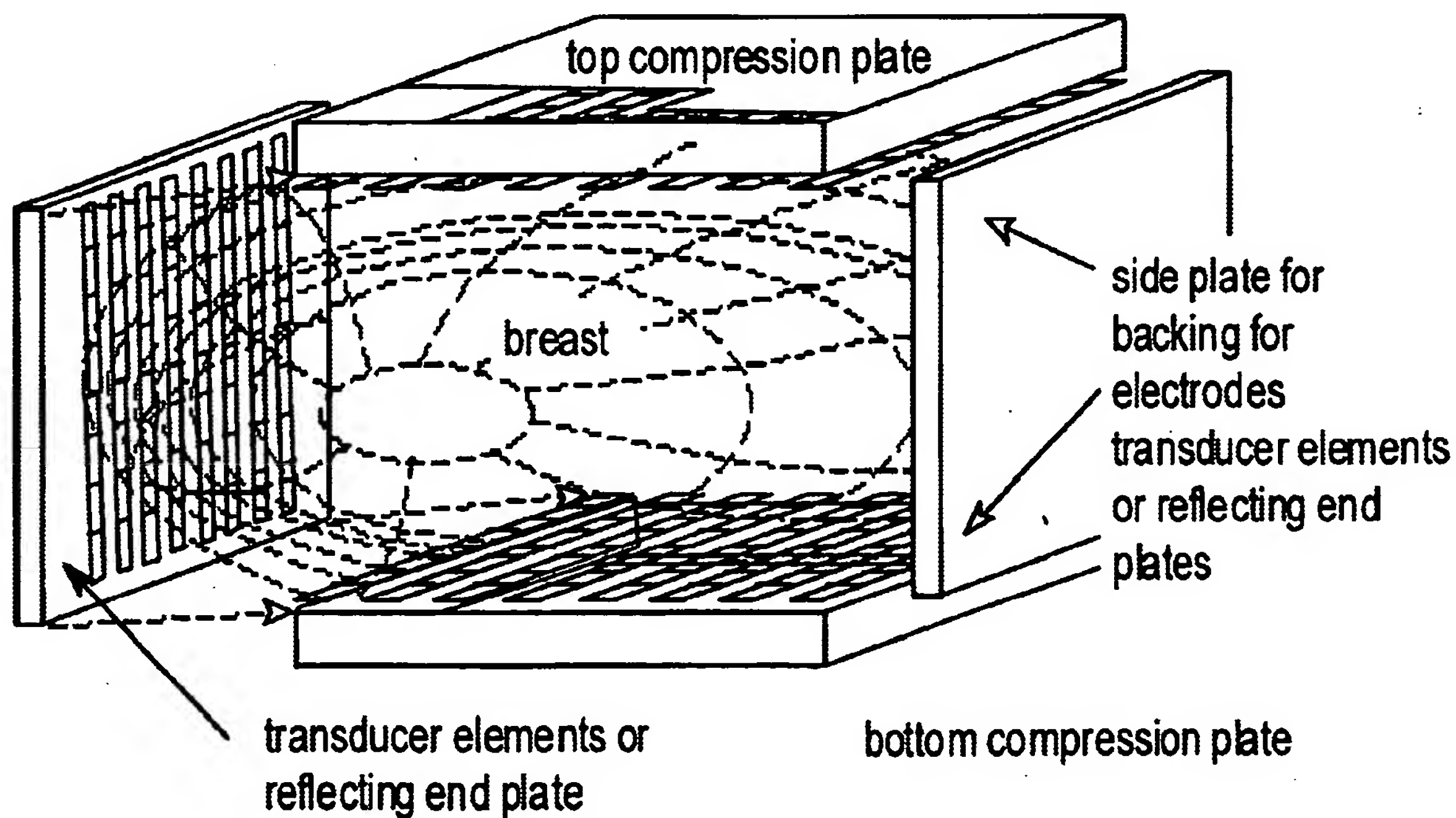


Fig. 4.d



Fig. 4.e

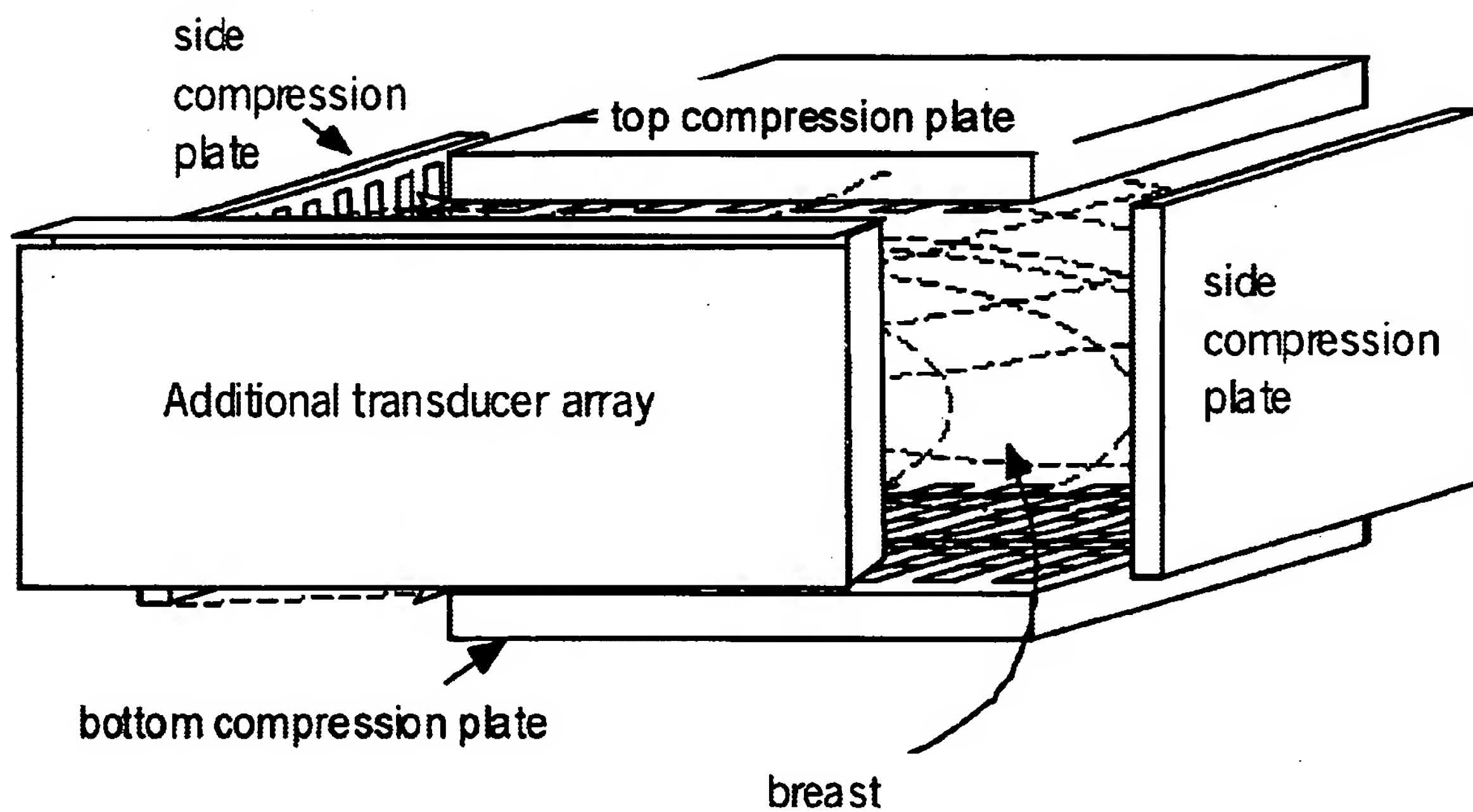




Fig. 5.a



Fig. 5.b



Fig. 5.c

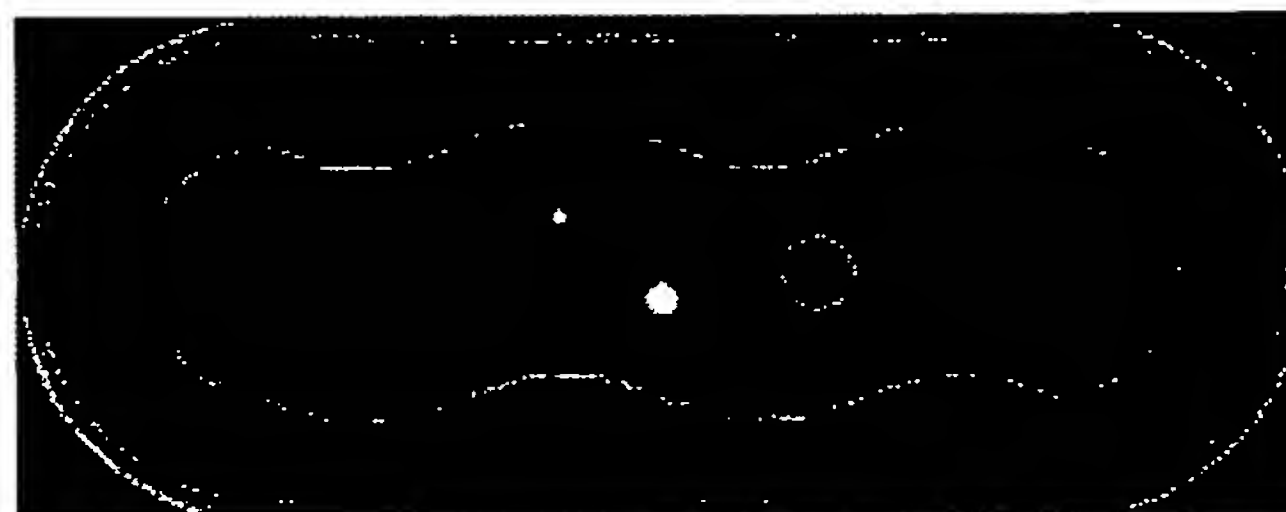


Fig. 5.d



Fig. 5.e





Fig. 6.a



Fig. 6.b

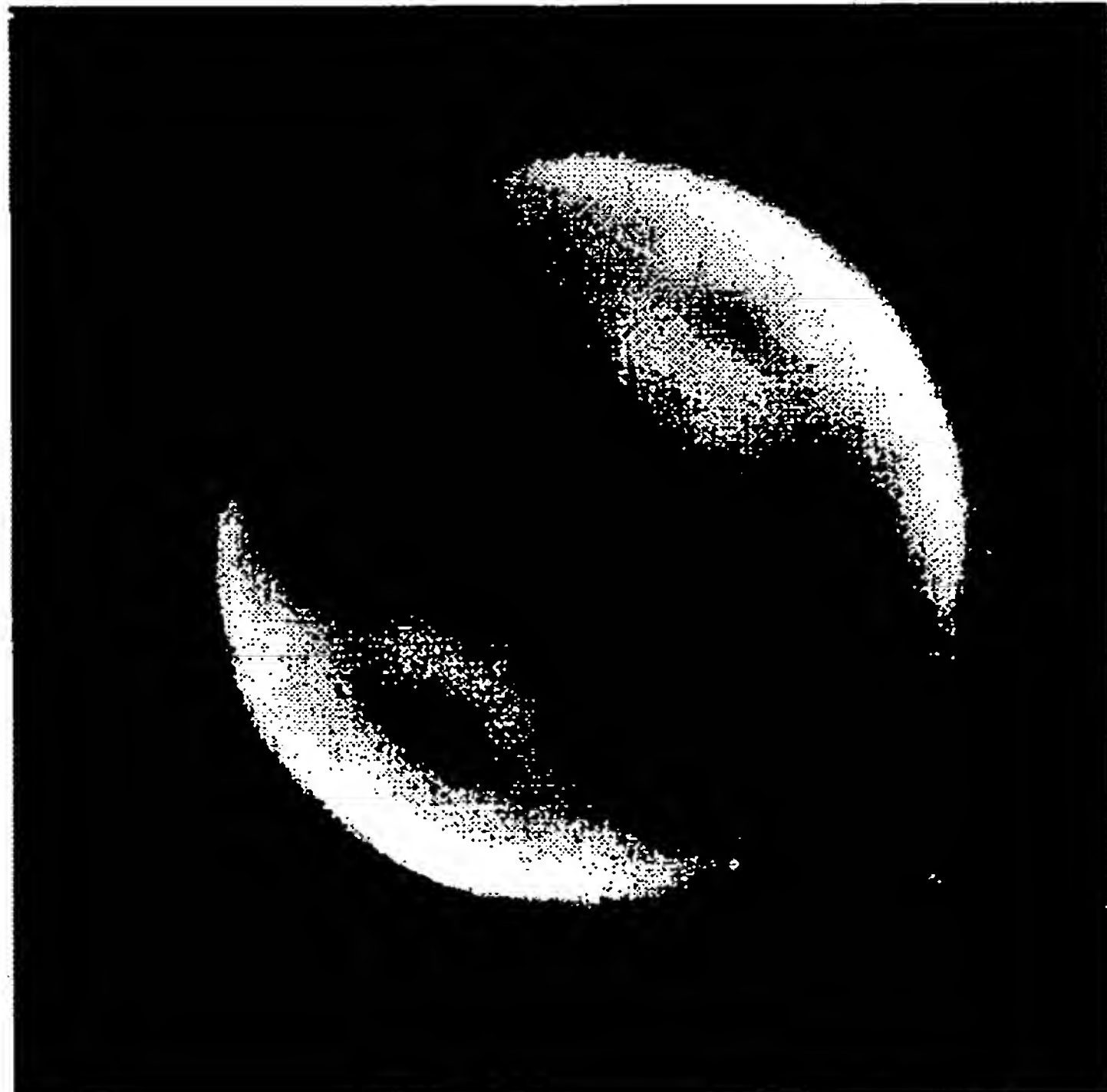




Fig. 7.a

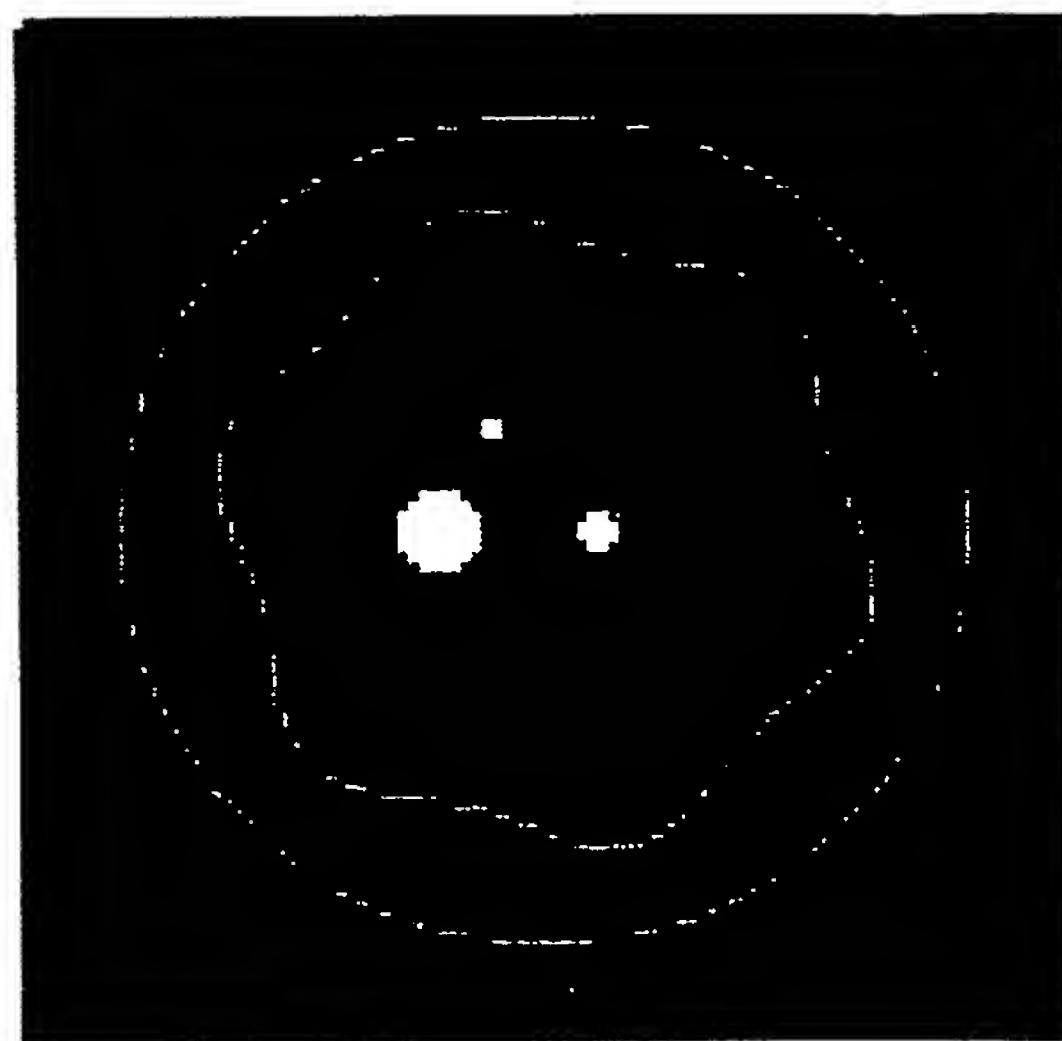


Fig. 7.b



comparison of the true (solid) and
reconstructed (dashed) $c0/c-1$
on the x-axis

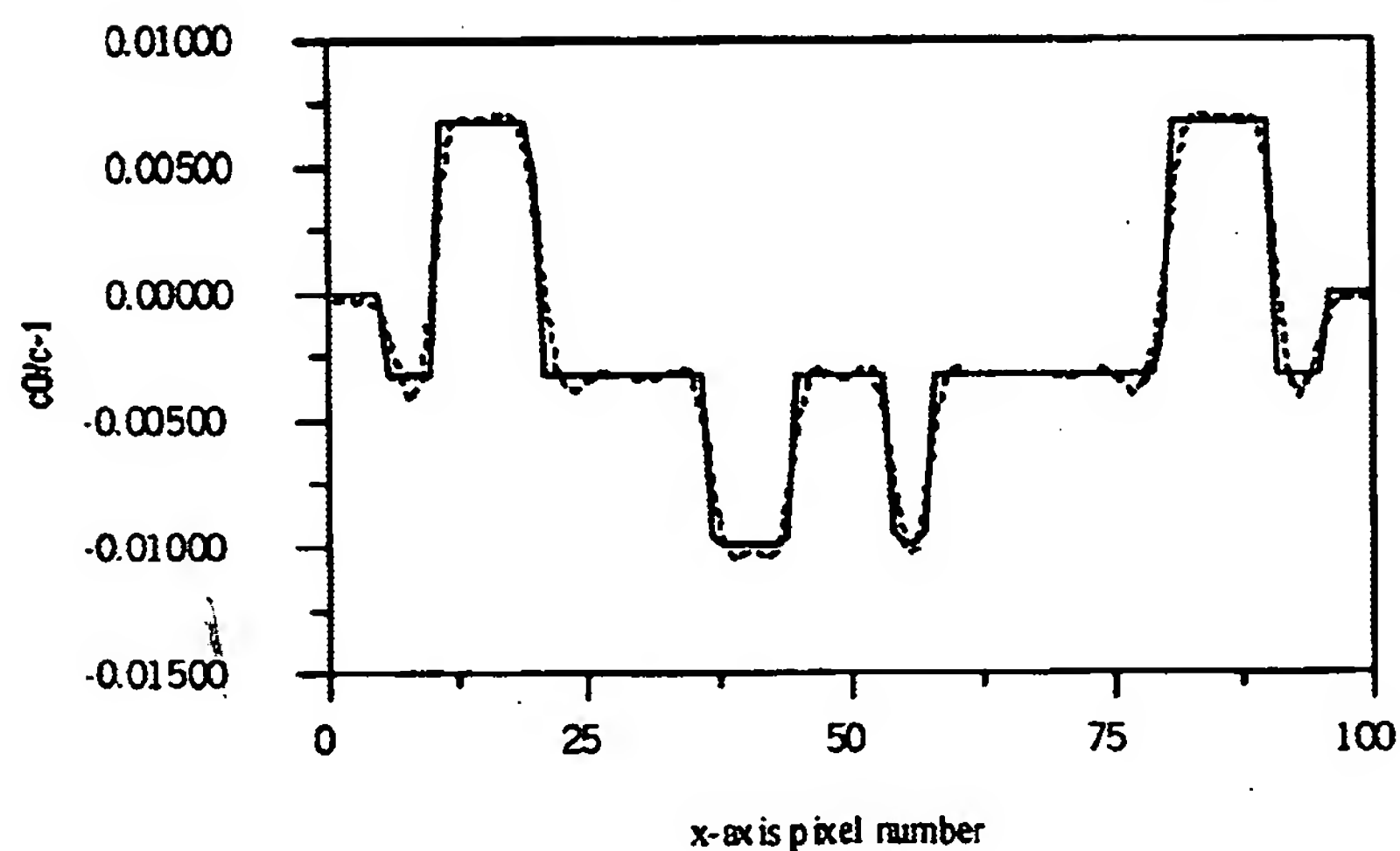


Fig. 7.c



Fig. 8.a

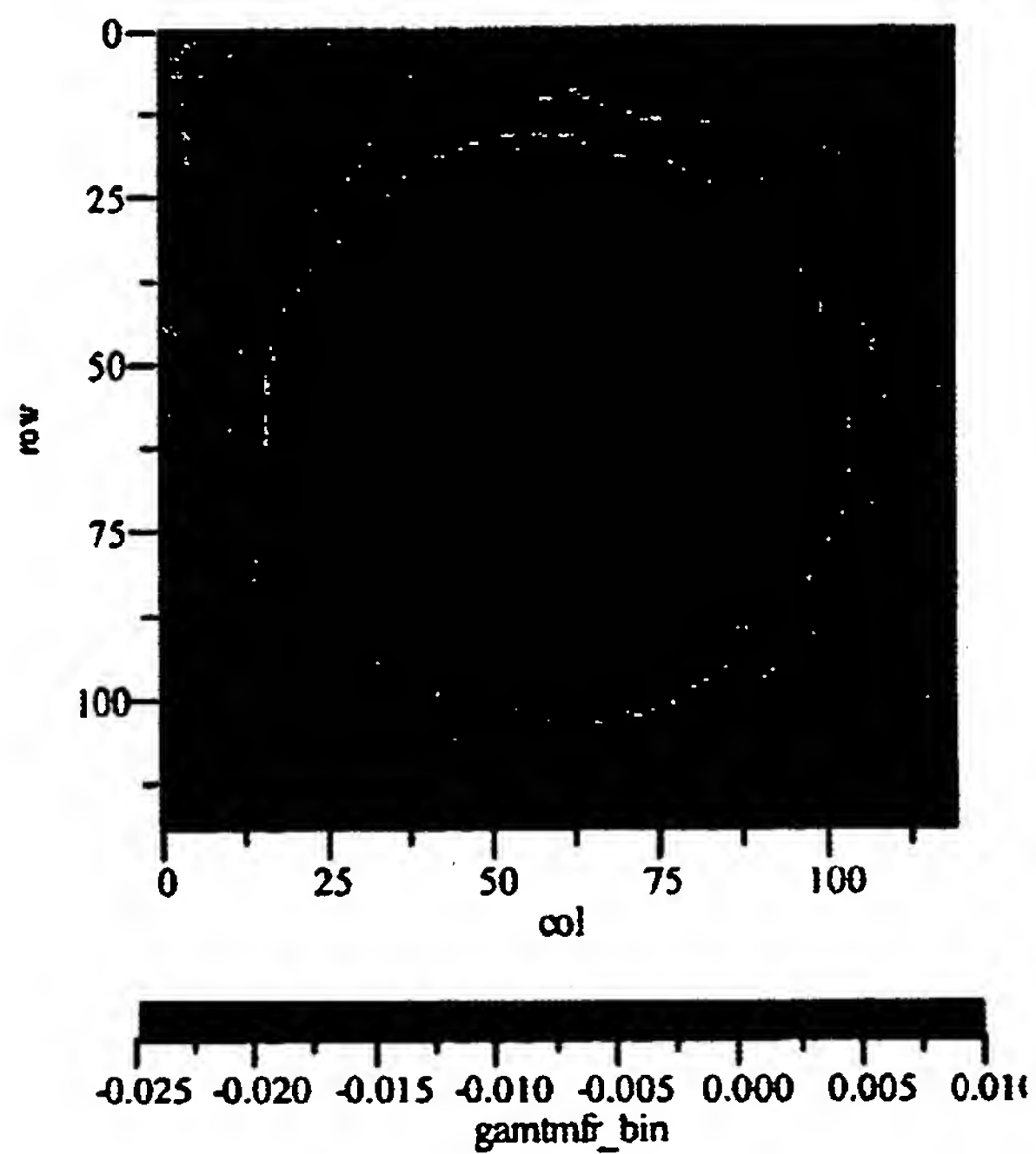
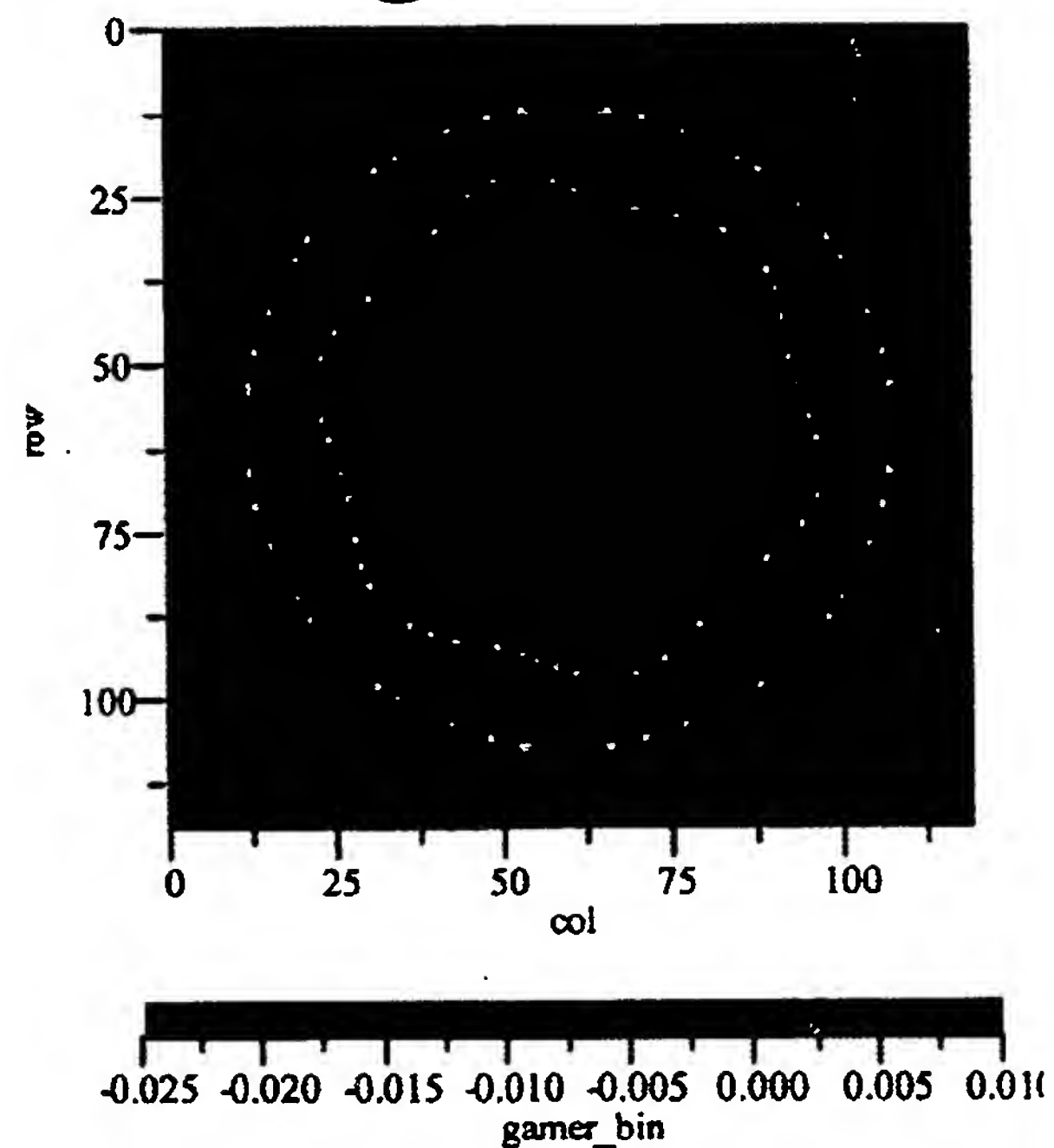


Fig. 8.c

Fig. 8.b

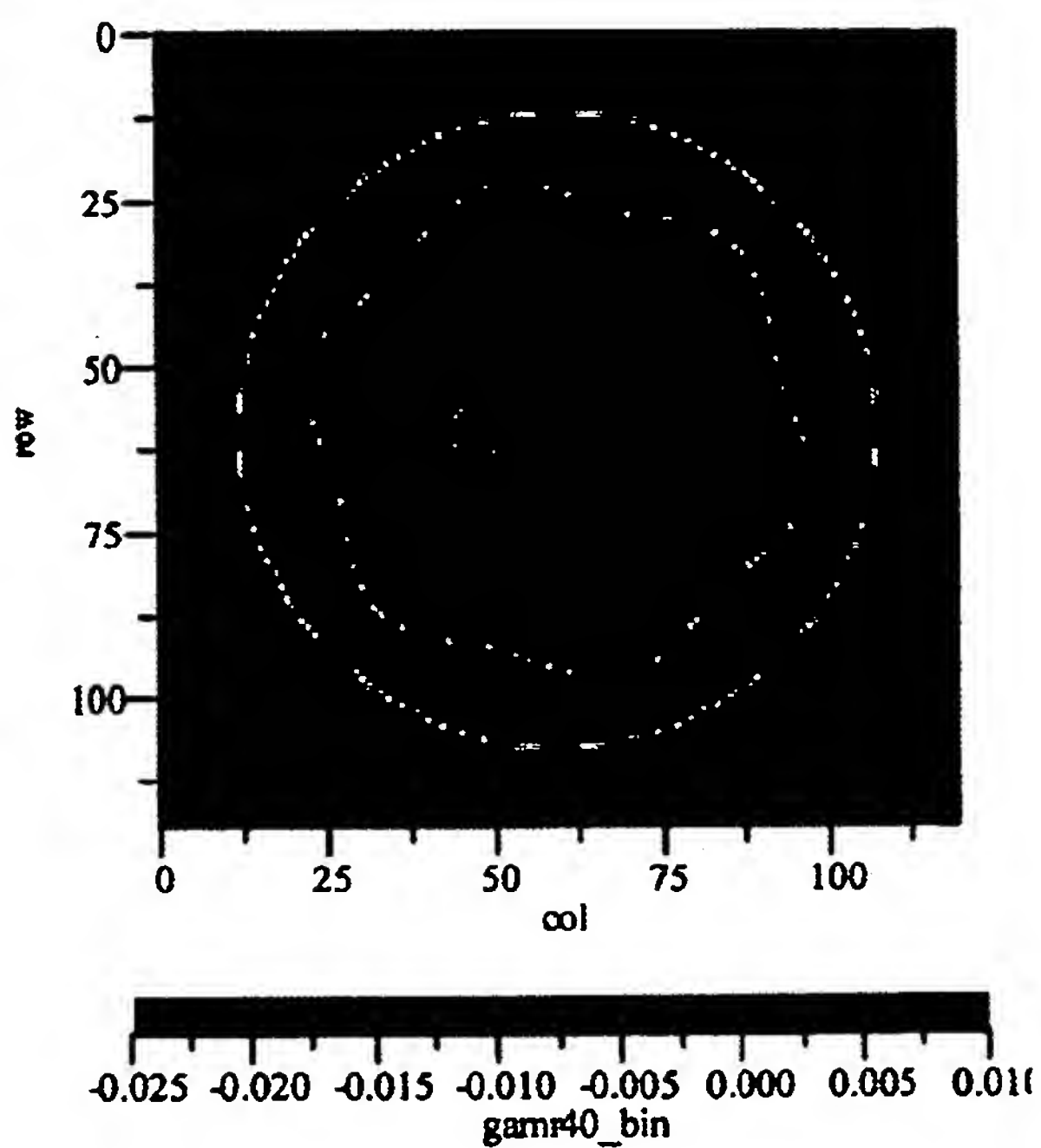




Fig. 9.a

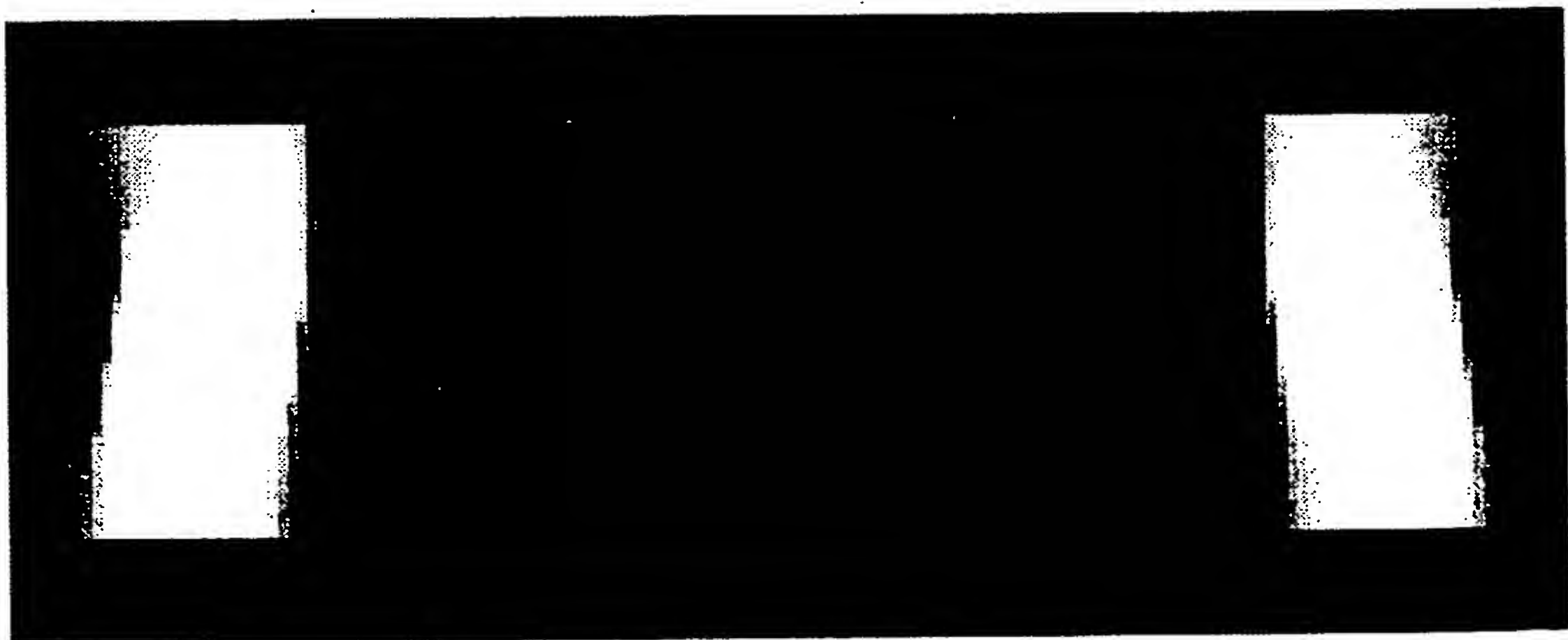
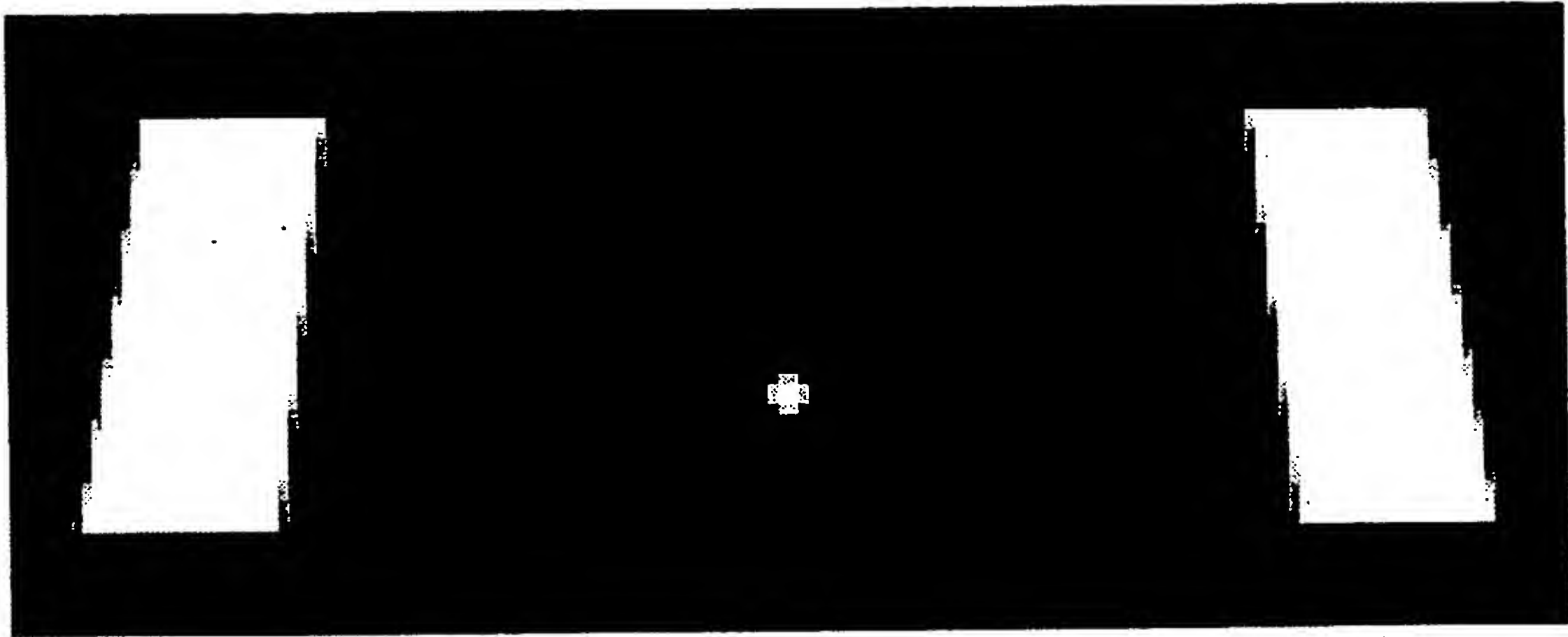


Fig. 9.b



Fig. 10a

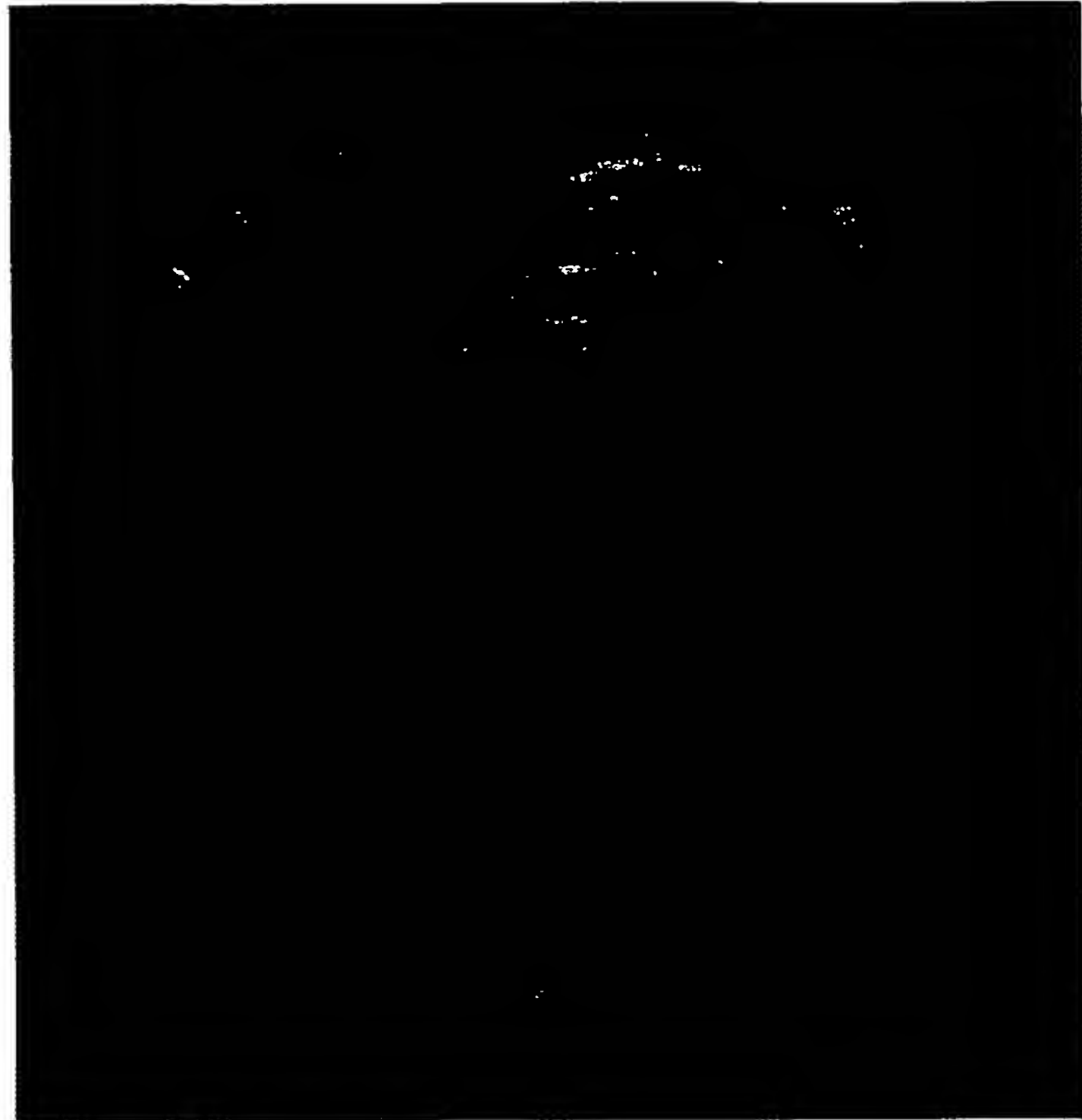


Fig. 10b

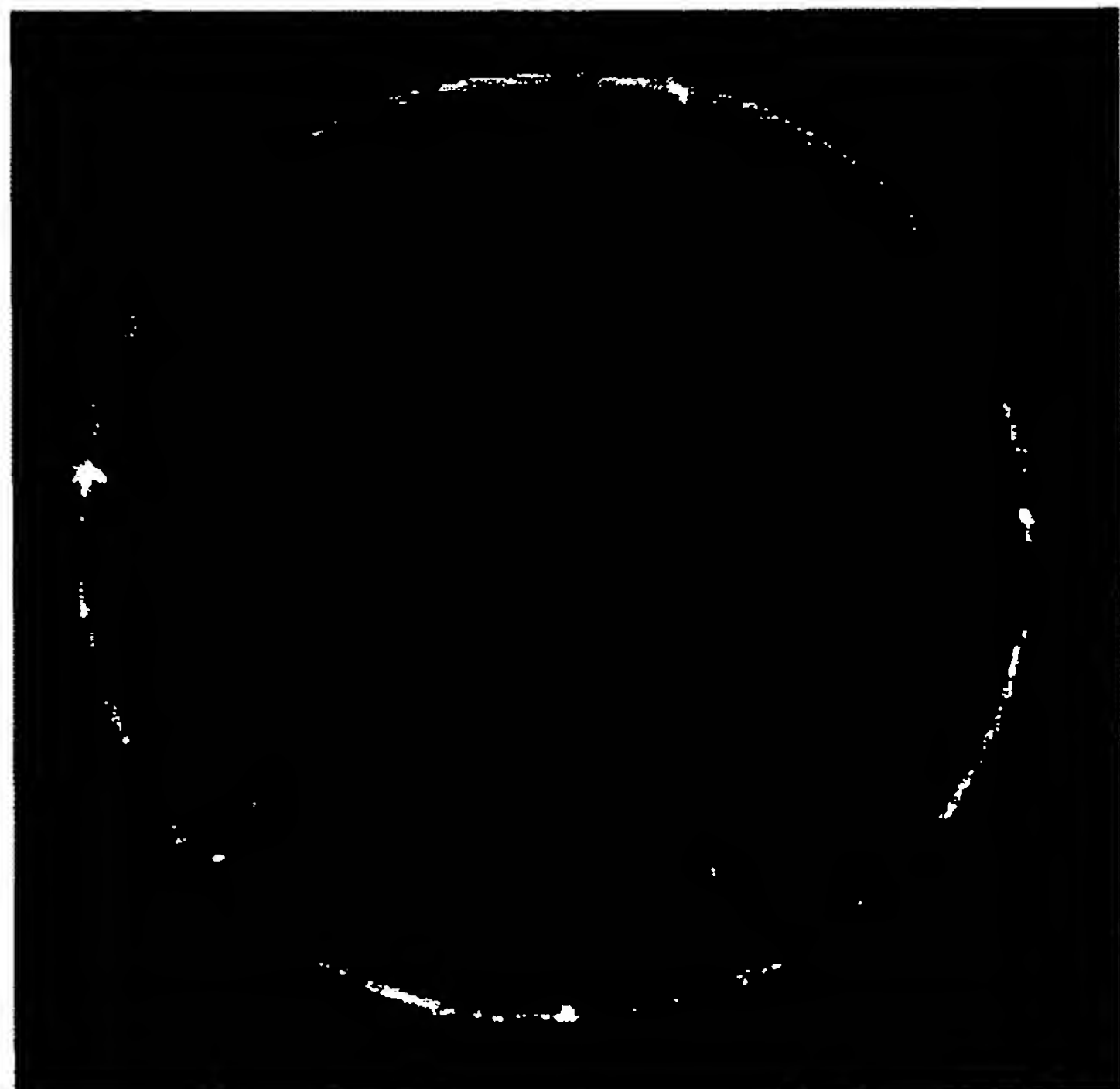




Fig. 11

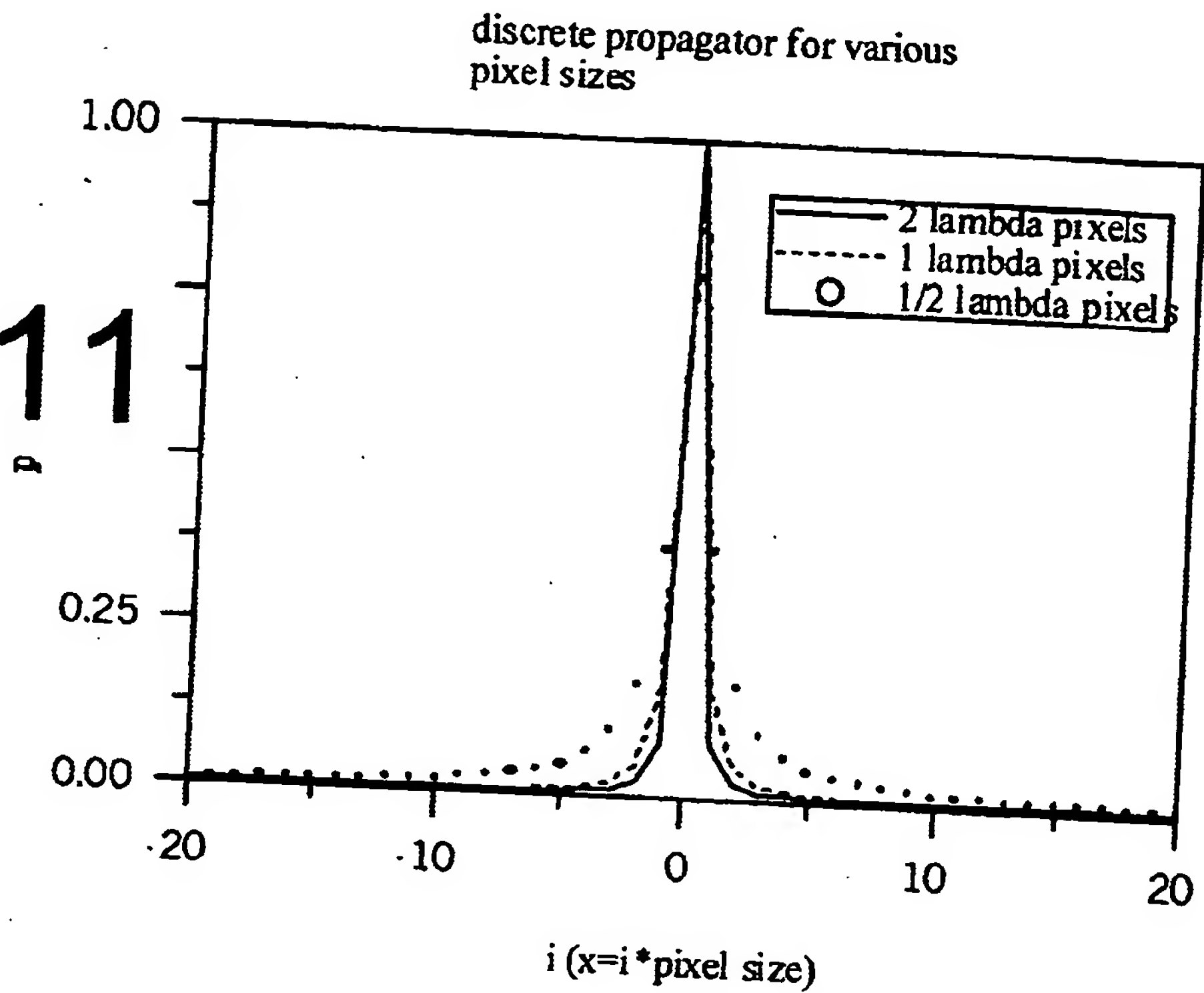


Fig. 12

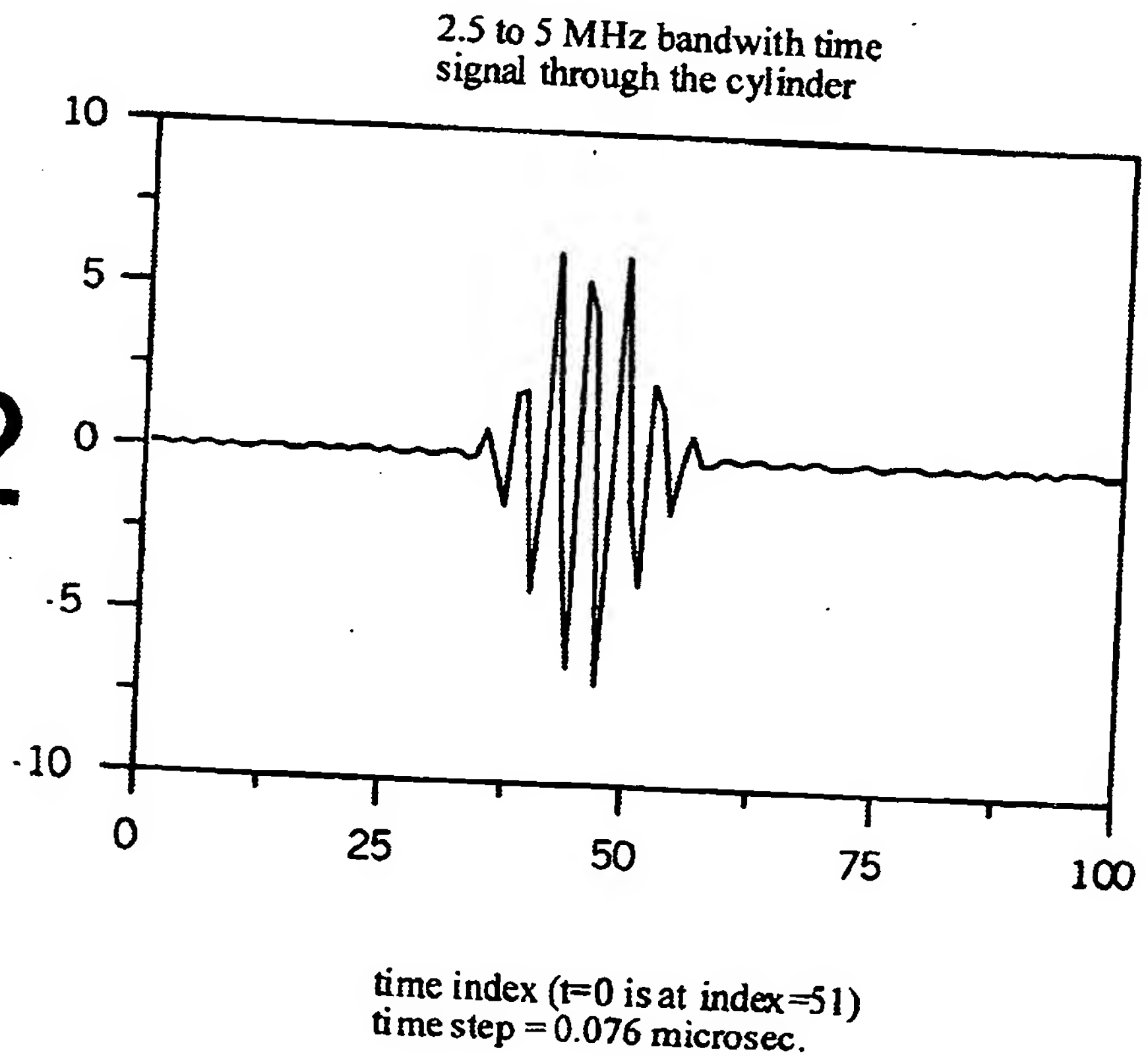




Fig. 13

